ских ресурсов, а также при сжигании топлив с низкой теплотворной способностью. Для повышения термодинамической эффективности турбоустановок на органическом цикле Ренкина целесообразно применение промежуточного перегрева. Максимальная эффективность достигается при использовании оптимальных с термодинамической точки зрения параметров рабочего тела перед частями высокого и низкого давления турбины.

### Литература

- 1. Овсянник, А. В. Тригенерационные турбоустановки на основе низкокипящих рабочих тел / А. В. Овсянник, В. П. Ключинский // Энергетика. Известия высших учебных заведений и энергетических объединений СНГ. 2022. Т. 65, № 3. С. 263–275.
- 2. Овсянник, А. В. Выбор, расчет и термодинамический анализ турбоустановок на органическом цикле Ренкина / А. В. Овсянник, В. П. Ключинский // Энергетика. Известия высших учебных заведений и энергетических объединений СНГ. 2022. № 1 (65). С. 76–88.
- 3. Ключинский, В. П. Термодинамический и технико-экономический анализ тригенерационных установок на органическом цикле Ренкина / В. П. Ключинский, А. В. Овсянник // Вестник Гомельского государственного технического университета имени П. О. Сухого. 2022. № 1 (88). С. 80–89.
- 4. Овсянник, А. В. Тригенерационные турбоустановки на основе низкокипящих рабочих тел / А. В. Овсянник, В. П. Ключинский // Энергетика. Известия высших учебных заведений и энергетических объединений СНГ. 2022. № 3 (65). С. 263–275.

# ТЕПЛООБМЕН ПРИ КОНДЕНСАЦИИ ФРЕОНА R404a НА ОХЛАЖДАЕМЫХ ПОВЕРХНОСТЯХ

#### П. С. Колмачева

Учреждение образования «Гомельский государственный технический университет имени П. О. Сухого», Республика Беларусь

Научный руководитель А. В. Овсянник

Проведены теоретические и экспериментальные исследования теплообмена при конденсации пара и гравитационном ламинарном течении пленки конденсата на вертикальной поверхности. Проверка полученных экспериментальных результатов, расчитанных по найденным зависимостям, осуществлена расчетным путем по формулам Нуссельта с помощью сравнения представленных результатов с экспериментальными исследованиями процесса конденсации озонобезопасного фреона R404a на наклонных поверхностях с вертикальными и относительно вертикальными ребрами.

**Ключевые слова:** конденсация, хладагент, теплообмен, фреон, эксперимент, коэффициент теплоотдачи.

Конденсация пара рабочих тел на практике встречается практически во всех теплоэнергетических установках, работающих как по прямому, так и по обратному циклам, и происходит в конденсаторах паросиловых установок, холодильных и в многочисленных теплообменных аппаратах (парожидкостные подогреватели). В подавляющем большинстве случаев конденсация в таких устройствах протекает на охлаждаемых поверхностях теплообмена, и выделенная при фазовом переходе теплота связана теплообменом через охлаждаемую поверхность с нагреваемой средой.

**Эксперимент.** Проводились экспериментальные исследования процесса конденсации паров смесевого чистого озонобезопасного хладагента R404a на продольно-оребренной трубе с ребром трапециевидного профиля высотой 25 мм (рис. 1).

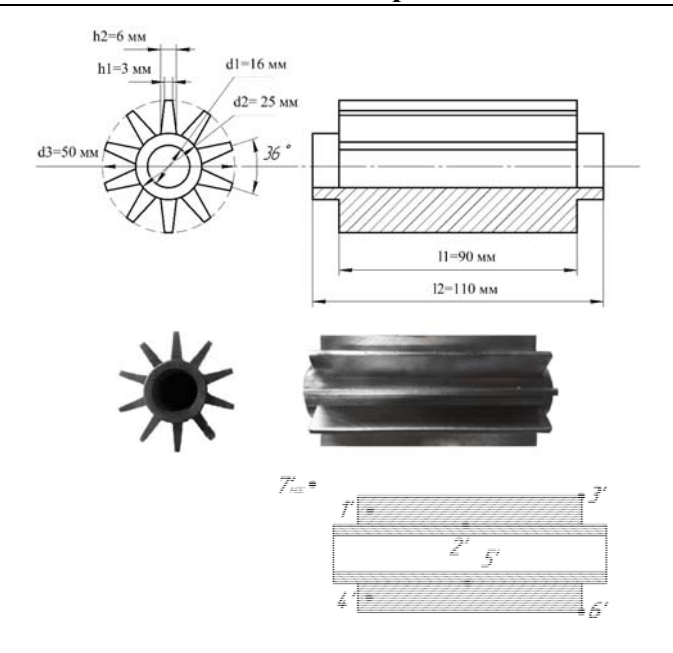
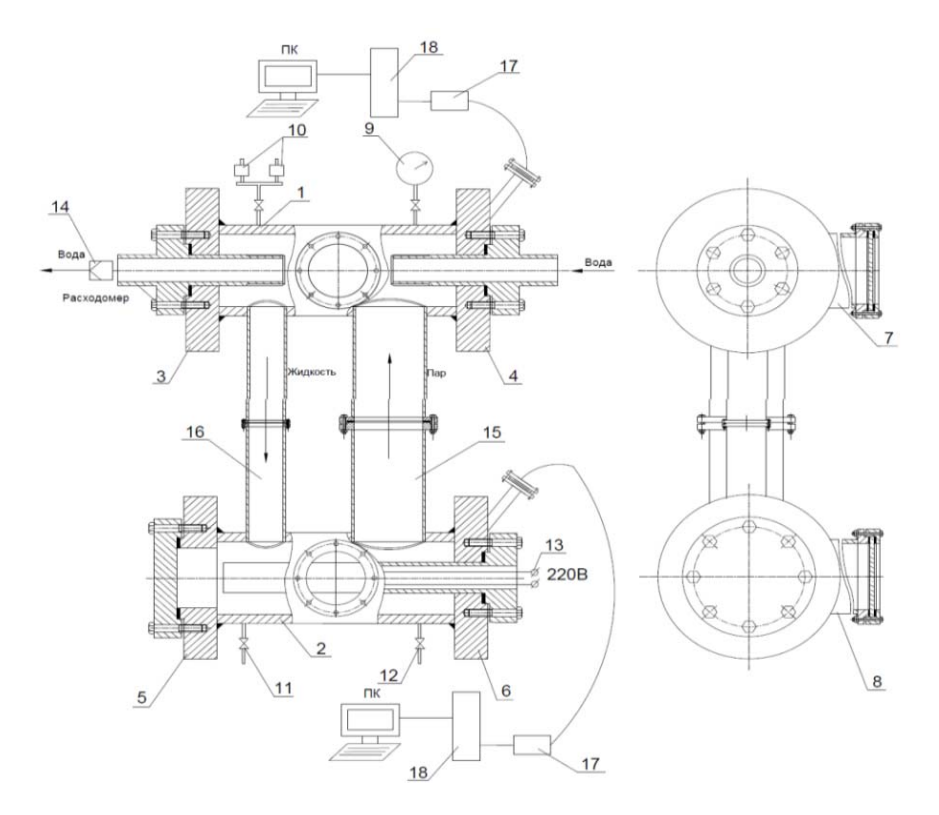


Рис. 1. Экспериментальный образец с расположением термопар

Для исследования теплообмена при кипении и конденсации жидкостей, озонобезопасных хладагентов и их маслофреоновых смесей на теплоотдающих поверхностях была разработана комплексная экспериментальная установка, показанная на рис. 2.



 $Puc.\ 2.\$ Экспериментальный стенд [1]: I,2 — рабочие камеры; 6 — фланцы; 7,8 — смотровые иллюминаторы; 9 — манометр; 10 — предохранительный клапан; 11,12 — вентили; 13 — нагреватель; 14 — расходомер; 15 — паровой канал; 16 — жидкостной канал; 17 — аналаго-цифровой преобразователь; 18 — компьютер

Рассматривалась пленочная конденсация медленно движущегося сухого насыщенного пара на горизонтальной оребренной трубе, имеющей уклон относительно горизонтальной оси 3÷5°. Такой уклон обеспечивает хорошее стекание образующейся пленки конденсата и освобождение поверхности теплообмена, тем самым уменьшая термическое сопротивление пленки конденсата. Температура ребра измерялась в трех точках: в основании, в середине ребра и на его вершине.

В эксперименте определялся коэффициент теплоотдачи по зависимости:

$$\alpha = \frac{q}{t_{\rm H} - t_{\rm c}},\tag{1}$$

где q – плотность теплового потока;  $t_{\rm H}$  – температура насыщения фреона;  $t_{\rm C}$  – температура стенки поверхности теплообмена.

Толщина гравитационно стекающей пленки при ламинарном режиме течения в эксперименте определялась как  $\delta_{\rm nn}^9 = \frac{\lambda}{\alpha_o}$ , и сравнивалась с расчетной толщиной пленки, вычисленной по формуле Нуссельта:

$$\delta_{\text{пл}} = \sqrt[4]{\frac{4 \cdot \lambda_{\text{m}} \cdot \mu_{\text{m}}(t_{\text{H}} - t_{\text{c}}) x}{2 \cdot \rho_{\text{m}}^2 \cdot q}}.$$
 (2)

Результаты экспериментальных и расчетных данных представлены в таблице.

#### R404a По Нуссельту Эксперимент $\alpha_0$ , BT/M<sup>2</sup> · K $\alpha$ , BT/M<sup>2</sup> · K O, BT δ, м $1,858 \cdot 10^{-5}$ $7,865 \cdot 10^{-5}$ 3850,627 909,398 30 $3,903 \cdot 10^{-5}$ $2.207 \cdot 10^{-5}$ 1818,796 120 3216,372 $2,202 \cdot 10^{-5}$ $1,627 \cdot 10^{-5}$ 285 3192,067 4319,642 $3,277 \cdot 10^{-5}$ $2.709 \cdot 10^{-5}$ 1965,504 2377,512 800

#### Результаты экспериментальных и расчетных данных

На рис. 3 приведены зависимости коэффициента теплоотдачи от плотности теплового потока; толщины пленки от плотности теплового потока; толщины пленки от температурного напора; коэффициента теплоотдачи от температурного напора. Представленные зависимости показывают, что экспериментальные данные по коэффициентам теплоотдачи и толщине пленки конденсата хорошо согласуются с расчетными, вычисленными по формуле Нуссельта (рис. 3) в диапазоне плотностей тепловых потоков  $q = 5000-28000~\rm BT/m^2$ .

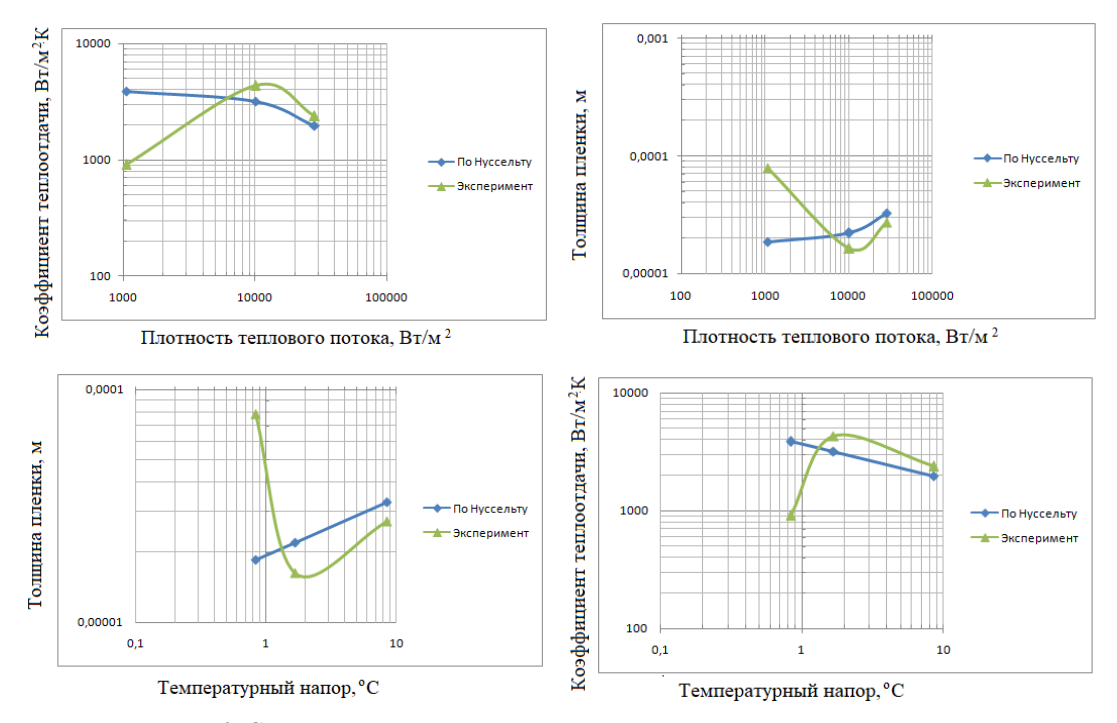


Рис. 3. Сравнение экспериментальных данных и данных по Нуссельту

В результате проведенных экспериментальных исследований процесса конденсации пара установлены гидродинамические характеристики конденсата, плотность теплового потока и интенсивность процесса теплоотдачи гравитационно стекающей пленки. Экспериментально полученные данные хорошо согласуются с расчетными данными, вычисленными по формуле Нуссельта в диапазоне плотностей тепловых потоков 5000-28000 Вт/м²; максимальная величина неопределенности по толщине пленки конденсата составила  $\pm$  30 %, а по коэффициентам теплоотдачи  $-\pm$  17 %. Представленные результаты исследований позволят определять наиболее оптимальные режимы работы конденсаторов и конденсационных аппаратов.

#### Литература

- 1. Овсянник, А. В. Гидродинамика и теплообмен при течении пленки конденсата по вертикальной поверхности / А. В. Овсянник // Вестник Гомельского государственного технического университета имени П. О. Сухого. 2024. № 4 (99). С. 50–57.
- 2. Овсянник, А. В. Теплообмен при конденсации чистого озонобезопасного хладагента R404A на продольно-оребренных горизонтальных трубах / А. В. Овсянник, В. П. Ключинский // Вестник Гомельского государственного технического университета имени П. О. Сухого. 2024. № 4 (99). С. 58–69.

# УНИВЕРСАЛЬНЫЙ МЕТОД БЕСПРОВОДНОЙ ЗАРЯДКИ ДЛЯ ЭЛЕКТРОТРАНСПОРТА

## И. А. Чупахин

Федеральное государственное бюджетное образовательное учреждение высшего образования «Тамбовский государственный технический университет», Российская Федерация

#### Научный руководитель Н. М. Гребенникова

Отмечено, что основная идея беспроводного устройства зарядки электротранспорта заключается в размещении в нижней части транспортного средства приемника, который